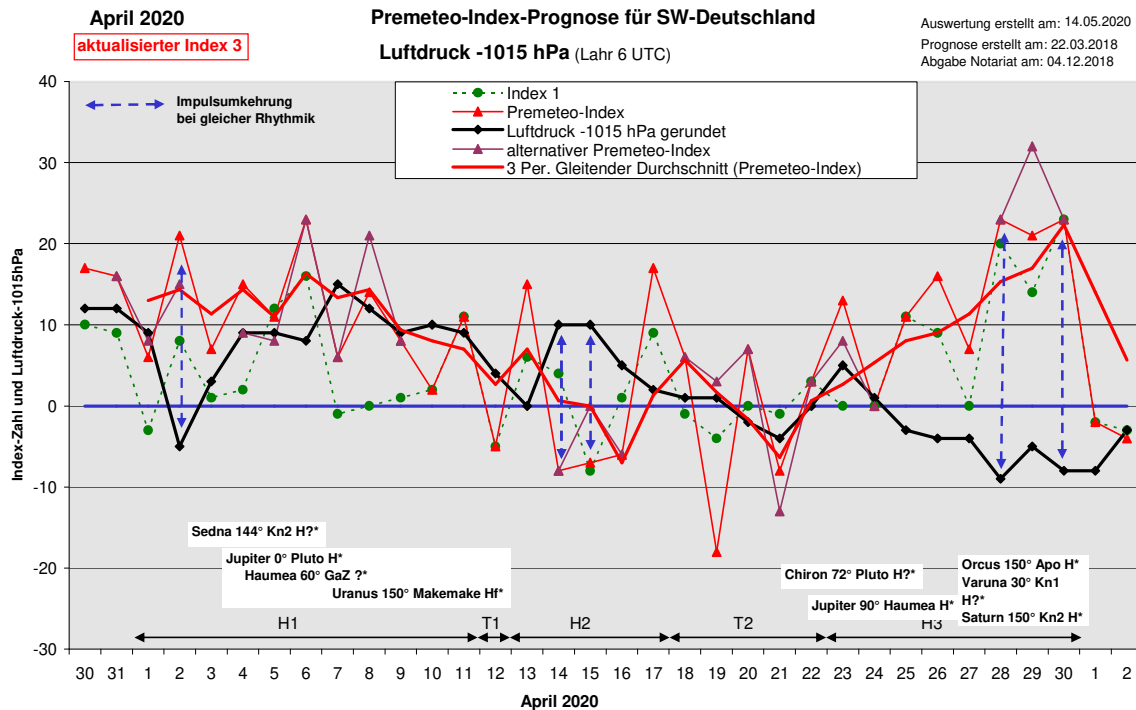


## Wetterlagenverlauf April 2020 im Vergleich zur Premeteo-Indexprognose für Südwest-Deutschland

(Im Diagramm sind über der Datumsachse die real eingetreten Hoch- und Tiefdruckphasen durch Doppelpfeile eingetragen. Ausschlaggebend für die Evaluation ist der tägliche Premeteo-Index, in der dünneren, roten Linie mit Dreieckspunkten dargestellt. Ein negativer Premeteo-Index zeigt die Wahrscheinlichkeit für eine zyklonale Tiefdruckströmung, ein positiver Premeteo-Index die Wahrscheinlichkeit für eine antizyklonale Hochdruckströmung an.

Die Wetterlagenbeschreibungen wurden anhand der Berliner Wetterkarten erstellt. Ausschlaggebend ist die Europa-Bodenkarte um 0 UTC, die feiner skalierte 12 UTC-Karte von Mitteleuropa wird nur bei einem Wetterlagenwechsel für die Einordnung des Tages hinzugezogen. Am Ende des Dokuments befinden sich die Tabellen und Konstellationen, die dem Diagramm zugrunde liegen.)



**Zusammenfassung:** Der April 2020 war ein erfolgreicher Prognosemonat, da bezüglich der Strömungsform der Wetterlage 24 Tage richtig prognostiziert wurden. Bei den sechs Fehlprognosetagen lag der Betrag des Premeteo-Index immer unter 10. Die ungewöhnliche Trockenheit des Monats und die vielen Tage mit wolkenlosem Sonnenschein waren somit bedingt durch die gehäuften, exakten Winkelbildungen mit antizyklonalen Impulsen im äußeren Bereich des Sonnensystems und in ihrer Kombination mit inneren Konstellationen.

Im Diagramm mit den Darstellungen des Verlaufs von Luftdruck und Premeteo-Index zeigen sich wieder mehrere Tage mit spiegelbildlichem Verlauf. Das heißt, die reale Luftströmung zeigt gegenüber dem Premeteo-Index eine Impulsumkehrung, behält aber die Rhythmik des kosmischen Geschehens bei. Es gibt Hinweise darauf, dass dies mit der Rückläufigkeit einzelner, beteiligter Planeten beim Exaktwerden der Winkelbeziehungen zusammenhängen könnte. Bestimmte Regeln konnten noch nicht gefunden werden.

Die wärmsten Tage des April 2020 mit Tagesmitteltemperaturen in Lahr zwischen 17,2°C bis 17,4°C traten am 17./18. und am 27. auf. Am 17./18. mit Merkur 180° Juno A / 60° Venus W, Sonne 60° Ceres A / 90° Pallas A. Merkur 90° Pallas A / 45° Vesta T kennzeichnet den 27. April.

Besonders kalt waren der 1. und der 14. mit Tagesmitteltemperaturen in Lahr von 4,4°C und 5,7°C. Die auffallenden Konstellationen waren hierbei Pallas 0° Pluto A\*, Chiron 180° Makemake H\*, Sonne 45° Sedna H und Ceres 180° Haumea H\* / 90° Sedna T\*, Venus 60° Apogäum K? / 0° Vesta W, Merkur 180° Makemake H.

Der höchste Luftdruck trat am 7. auf mit 1029,8 hPa um 6 UTC in Lahr. Er war begleitet von Merkur 30° Eris H / 72° Vesta H / 60° Pluto T / 30° Ceres Hf.

Der tiefste Luftdruck stellte sich in Lahr um 6 UTC am 28. mit 1006,3 hPa ein. Dies war ein Tag mit Impulsumkehr wie oben vermerkt und im Text unten zu dieser Wetterphase beschrieben. Es traten keine Tiefdruckaspekte auf, im Gegenteil wurden an diesem Tag insgesamt sechs Winkelbeziehungen mit antizyklonalem Impuls exakt. Intensivster Aspekt dürfte Sonne 150° Juno Hf gewesen sein, wobei sich Juno in einer rückläufigen Relativbewegung zur Erde befand. Zugleich galt Merkur 60° mittl. aufst. Mondknoten (Kn1) H / 90° Varuna A. Varuna 30° Kn1 H?\* wurde ebenfalls an diesem Tag exakt. Der Mondknoten bewegt sich generell rückläufig um die Erde.

### **Beschreibung der einzelnen Wetterphasen:**

**Hochdruckphase 1:** Am 1. April 2020 setzte sich die Hochdruckwetterlage, die am 28. März begonnen hatte, durch Hoch Keywan I und II mit Kernen über dem östlichen Atlantik und über Tschechien fort. Am 28. März hatte auch die Dreierkonjunktion Jupiter-Pallas-Pluto, die sich durch kalte, frostige Nächte und wolkenlos helle Sonnentage auszeichnete, begonnen. Hoch Keywan blieb wetterbestimmend, auch wenn um 0 UTC des 2. April Südwestdeutschland im flachen Isobarenbereich von Tief Pauline über dem Nordmeer zu liegen kam. Am 3. April lag der Kern von Hoch Keywan I über dem Ostatlantik und seine äußerste Isobare reichte um 0 UTC gerade bis an unsere Region heran. Sein Kern lag am 4. um 0 UTC über den Vogesen, überquerte an diesem Tag Deutschland in nordöstlicher Richtung und erreichte am 5. Osteuropa.

Das Ende der antizyklonalen Keywan-Ära, die für unsere Region am 29. März einsetzte, war auch zugleich das Ende der Dreierkonjunktion Pallas-Jupiter-Pluto, die am 28. März begonnen hatte. Am 6. wurde die Jupiter-Pluto-Konjunktion exakt und zugleich ging die Konjunktion von Pallas mit Jupiter zu Ende.

Um 0 UTC des 6. dehnten sich die Isobaren von Tief Ranidia bis über Südwest- und Süddeutschland aus und es erfolgte ein Einströmen warmer, subtropischer Luft. Dabei überwog um 12 UTC jedoch wieder der Isobarenbereich des osteuropäischen Hochs und auch auf 500 hPa blieb die Hochdruckströmung erhalten. Zum 7. erfolgte ein Wechsel zu Hoch Loris mit Kern über Südengland. Am 8. lag dieser schon über Nordostdeutschland und aufgrund der eingeflossenen warmen Luftmassen zeigten die Isobaren des Hochs nach Westen eine Wellenstruktur, die auch Krümmungen zu einem Tief über den Azoren aufwies. Die 1020ger Außenisobare des Azorentiefs selbst zeigte aber noch keinen Vorstoß nach Osten, deshalb wurde die Wetterlage mit ihrer seit dem 4. April anhaltenden Wolkenlosigkeit weiterhin als antizyklonal eingestuft. Ebenso am 9., als Hoch Loris nur noch zwei kleine Kernbereiche über den Ostalpen und dem Ostbalkan ausbildete und schwache Luftdruckgegensätze über Mitteleuropa vorherrschten. Über Schottland hatte sich der Kern von Hoch Max ausgebildet, der am 10. über der Nordsee lag und die Antizyklonalität verstärkte. Am 11. befand sich der Kern des Hochs über Norddeutschland. Der Premeteo-Index summierte über die 11-tägige Hochdruckphase auf +124. Die Hochdruckphase zeichnete sich durch einen fast durchgehend wolkenlosen Himmel aus!

**Tiefdruckphase 1:** Durch Tief Tanja mit Kern über dem Nordmeer zogen am 12. nun erstmals und in Übereinstimmung mit dem negativen Premeteo-Index wieder Wolkenfelder über das Land und brachten im nördlichen Baden-Württemberg auch einzelne Schauer mit sich. Der Premeteo-Index hatte einen Wert von -5.

**Hochdruckphase 2:** Um 0 UTC des 13. lag der Kern von Tief Tanja über Nordskandinavien und sein Einfluss bestimmte im Laufe des Tages noch die Witterung mit vereinzelt, leichten Gewitterbildungen. Um 12 UTC überwog schon der stark ansteigende Luftdruck durch Hoch Nikolas über dem Nordostatlantik, was auch mit dem Premeteo-Index in Einklang war, der noch mal einen Wert von +15 hatte. Zum 14. fiel der Premeteo-Index auf -8 ab. Auf 500 hPa blieb eine zyklonale Nordwestströmung erhalten, aber in der Bodenatmosphäre kam es an der Rückseite von Tief Tanja und der Vorderseite von Hoch Nikolas zum Einfließen sehr kalter, maritimer Arktikluft, die wieder bis in die Niederungen Nachfröste brachte und die Atmosphäre über Südwestdeutschland absinken ließ. Der kräftig

steigende Luftdruck verhielt sich dadurch spiegelbildlich zum Premeteo-Index und verursachte die ersten Fehlprognosestage dieses Monats vom 14. bis zum 16. April. Am 15. wies Hoch Nikolas einen Kern über der Nordsee und über Südostdeutschland auf, am 16. lag Hoch Nikolas schon über dem Nordwestbalkan und erreichte am 17. Süditalien. Deutschland lag dabei im flachen Bereich einer Hochdruckbrücke zwischen ihm und Hoch Odilo über dem Nordmeer. Der Premeteo-Index summierte über die 5-tägige Hochdruckphase nur auf +11. Tatsächlich wies die Phase insgesamt 9 Aspekte mit antizyklonalem Impuls und nur 4 Aspekte mit zyklonalem Impuls auf und der negative Index der drei Fehlprognosestage war nur durch Symmetrien verursacht worden.

**Tiefdruckphase 2:** Am 18. hatte ein Tief über dem Ostatlantik seinen Isobarenbereich über Südwest- und Süddeutschland ausgeweitet. Sein Kern lag am 19. über Südostdeutschland, und am 20. zeigte dieses Tief je einen Kern über Westfrankreich und der Südostschweiz. Am 21. konzentrierte sich der tiefe Luftdruck in einem Kern über Portugal und in Tief Vera über Sardinien. Tief Vera bildete am 22. drei Kerne aus: über Westfrankreich, den Balearen und Sardinien. Es zeigte sich in einem fast aufgelösten Zustand auch noch am 23. um 0 UTC mit einem schwachen Kern über Frankreich. Der Premeteo-Index summierte über die 5-tägige Tiefdruckphase auf -9. Es herrschte während dieser Tiefdruckphase ständig ein sonniges Frühlingswetter und leider fiel überhaupt kein Niederschlag, der für die Wälder und Felder so notwendig gewesen wäre.

**Hochdruckphase 3:** In der zweiten Tageshälfte des 23. fand der Wechsel unserer Region in den Isobarenbereich von Hoch Odilo II statt, das um 0 UTC des 24. einen Kern über den Alpen zeigte. Es setzte deutlicher Luftdruckfall ein, aber die Hochdruckgebiete Odilo I über der Nordsee und Odilo II über Sardinien führten auch noch am 25. die trockene Schönwetterlage fort. Am 26. lag der Kern des Hochs direkt über Deutschland und wanderte zum 27. auf den Ostbalkan, wobei sich sein Einfluss über unserer Region bei geringen Luftdruckgegensätzen stark abgeschwächt hatte. Bei entsprechend tiefem Luftdruck dehnte am 28. um 0 UTC Tief Yve mit Kern über Nordwestfrankreich seinen Isobarenbereich über Deutschland aus, doch um 12 UTC zeigte sich bereits ein flacher, antizyklonaler Keil über Südwestdeutschland, der am 29. , von der Iberischen Halbinsel kommend, die Bodenwetterlage über der Region prägte und am 30. um 0 UTC einen Kern über den Ostalpen ausgebildet hatte. So blieb trotz des tiefen Luftdrucks und seines spiegelbildlichen Verlaufs zum Premeteo-Index die Wetterlage am Boden schwach antizyklonal mit starkem Wind und vereinzelt Schauern am Ende des Monats. Der Premeteo-Index summierte über die 8-tägige Hochdruckphase auf +114.

SW-D befand sich an 24 Tagen im Einflussbereich antizyklonaler Strömung. Die Summe des prognostizierten Premeteo-Index für diese Tage ergab +249. Dies entsprach einer Indexzahl von +10,38 pro Tag.

An 6 Tagen befand sich SW-D im Einflussbereich zyklonaler Strömung. Die Summe des prognostizierten Premeteo-Index für diese Tage ergab -14. Dies entsprach einer Indexzahl von -2,33 pro Tag.

Die Prognose durch die Premeteo-Wettersymbole war an 4 Tagen falsch (am 21., 28. bis 30.), an 12 Tagen richtig und an 14 Tagen tendenziell richtig.

**14.05.2020**  
**April 2020**  
**01.04.2020**



Prognose für SW-Deutschland  
aktualisierter Index 3

Die Dreier-Konjunktion Jupiter-Pluto-Pallas, die am 28. März 2020 begann, bleibt bis zum 6. April 2020 bestehen. Am 6. Haumea 60° GaZ??. Am 8. Haumea 150 Sedna? im Index 2. Konjunktion Venus 0° Vesta vom 13. bis 17. April.  
Die rot markierten Aspekte im Index 3 sind Aspekte, bei denen der ursprüngliche Konjunktionsplanet den höheren Rang hat als der Partnerplanet. Das bedeutet, dass der Konjunktionsplanet bei diesen Aspekten immer als Planet 2 auftritt. Diese Aspekte werden ab Januar 2020 nicht mehr angerechnet.

Langsamläufer-Impulse	H?		H?	H?, H?	H?, T?	H?, ??			H?	H?	
Schnellläufer-Impulse	2H	Hf	T	2T, H	H	Hf, H, T	2H, 2T, Hf	2T	T		
Temperaturimpulse	W			2W		W	K	W, K	K	2W	
Premeteo-Index -zyklonal, + antizyklonal (Index 1+2+3)	6	21	7	15	11	23	6	14	8	2	
Pre.IX (ALTERNATIV)	14				14			21			
Index 1 (12 - 12 UTC) exakte Aspekte des Tages	-3	8	1	2	12	16	-1	0	1	2	
Index 1 (ALTERNATIV)	5				1			7			
Symmetrien (0 - 0 UTC)	Son 23 Ura Nep (12) H?(4/0) --- Mer 71 Qua Sed (12) A A?(6,5/2) 0	Plu 0 Jup Pal (10) H? A? +7 Ura 22 Son Sed (14) H --- Ura 29 Chi Ves (23) H? (8/3) H? H? ---		Var 10p Mar Sat (04) A H?(7/2) +7 Son 9 Chi Eri (04) A K? H --- Mer 75 Ves Qua (12) H? --- Nep 46 Mar Ura (18) H? H?(4/0) A +14	Ven 4 Ves Sed (07) H H W --- Var 60 Ven GSZ (10) H? T O+7 Ven 121 Sat GSZ (13) T T H?(12,5/4)-7/0		Orc 144 Son Mar (02) A H H W +7	Mak 119 Mar Ves (02) A T? A -7 Mer 30 Eri Cer (12) H H? A? +14 Cer 30 Jup Mer (18) A? H? T +14 A? H? AW (+7) Hau 8p Son Ura (20) H H?(5/1,5) ---	Chi 60 Mar Ves (00) T H? A --- Sat 5 Mar Pal (02) T A? --- Cer 30 Plu Mer (02) A? H? T +14 Mar 121 Ves Mak (20) A A T? --- Son 8p Jun Hau (22) A H ---	Hau 150 Sed Mer (02) H A A? A? Mak 121 Ven Mar (04) H A A W +7 Ura 29 Ven Chi (12) A H? (8/3) A --- Sat 6 Mar Jup (19) T A? (4/6,5) --- Mer 8 Nep Chi (21) H W A --- Var 5op Mar Pal (22) A H? ---	Chi 59 Ven Mar (00) A T A W --- GSZ 4op Chi Mer (04) T?(1/5) A --- Son 15 Ura Chi (10) H? (8/3) --- Sat 6 Mar Plu (14) T H?(4/2) --- Jun 134 Sed Cer (22) A? A? T? --- Mak 15op Son Nep (23) T ---
Index 2 (12 - 12 UTC)	0	7	0	7	-7	7	7	14	7	0	
Index 2 ALTERNATIV					7						
ausgelöste Aspekte (durch Konjunktionen aktivierte Aspekte)	Son 45 Sed H3 Plu 72 Apo H11 Sed 144 Kn2 H12 Orc 135 Plu? ? Hau 150 Sed? ? Sed 150 GaZ? ? Jup 0 Plu H? +6	Plu 72 Apo H11 Orc 135 Plu? ? Jup 0 Plu H? +6	Plu 72 Apo H11 Orc 135 Plu? ? Jup 0 Plu H? +6	Plu 72 Apo H11 Ura 45 Nep H?(4/0)K? Chi 72 Plu H?(4/2) Orc 135 Plu? ? Jup 0 Plu H? +6	Plu 72 Apo H11 Chi 72 Plu H?(4/2) Orc 135 Plu? ? Jup 0 Plu H? +6	Plu 72 Apo H11 Chi 72 Plu H?(4/2) Orc 135 Plu? ? Jup 0 Plu H? +6	Chi 72 Plu H?(4/2) Orc 135 Plu? ?	wegen Index 2: Mer 60 Plu Ti-1 Chi 72 Plu H?(4/2) Orc 135 Plu? ?	Chi 72 Plu H?(4/2) Orc 135 Plu? ?	Chi 72 Plu H?(4/2) Orc 135 Plu? ?	
Index 3 (Summe)	9	6	6	6	6	0	0	0	0	0	
Index 3 ALTERNATIV											
Symbol-Prognose	3	2	3	2	2	2	3	2	3	3	
Symbol-Prognose altern.	3	2	3	2	2	2	3	2	3	3	
Wochentag	Mi	Do	Fr	Sa	So	Mo	Di	Mi	Do	Fr	
Datum	1	2	3	4	5	6	7	8	9	10	
reale Wetterlage	H1: 2H?, 5H?, 3Hf, 8H - T?, 10T - 2? / +124										
Luftdruck (hPa) 06 UTC	1023,5	1010,1	1017,8	1024	1024,2	1023	1029,8	1026,9	1024,4	1024,6	
mittl. Temp.(°C)	4,4	6	6,8	8,1	11,4	14,2	13,7	13,9	14,5	14,2	
Sonnenscheindauer (h)	12	12	7,6	12,1	12,2	12,2	12,3	12,2	12,2	12,3	
Niederschlag (Liter)	0	0	0	0	0	0	0	0	0	0	
Bodenwetterlage 00 UTC (Kernlage des Druckgebets, das SW-D beeinflusst)	H mit Kernen ü MO-Alt u Tschech	T ü Nm, H ü O-Alt, H ü O-Balk	H ü O-Alt, T ü Osee	H ü Vogesen	H ü Polen	T s Isl, H ü O-Eu	H ü S-England	H ü NO-D, T ü Azoren	Hü Schottl, Kl H ü O-Alpen, H ü O-Balkan, T ü Barentsee	H ü Nsee, H ü Balk	
Bodenströmung 12 UTC zyklonal (z), antizyklonal (a)	a-z	a	a	a-z	fl a	a	a-z	fl a	a	fl a	
Strömung auf 500 hPa 00 UTC	NNO a-z	WNW z	NW fl z	NW a	NNO a	O a	SO a	So a	fl a	NO a	
zutreffende Wettersymbole	2 hr	2 r	3 r	2 r	2 r	2 r	2 hr	2 r	2 hr	2 hr	

Übertrag	02:23	00:33	01:41	01:16	02:40	05:30	03:14	02:22	00:42	04:12
Index 1: -8	JUN 72 VAR	SON 72 SAT	VES 150 QUA	MER 0 NEP	JUP 0 PLU	MAR 45 NEP	VEN 144 EL6	MER 60 JUP	MER 60 PAL	VEN 120 MAK
Index 2: 0	WAA 13°57'07" LÖW 01°57'07" A*	WID 12°44'14" WAS 00°44'15" A	ZWI 04°43'41" STE 04°43'41" H? +5	FIS 19°22'38" FIS 19°22'39" H W +2	STE 24°53'16" STE 24°53'16" H? +6	WAS 04°27'11" FIS 19°27'11" Hf +10	ZWI 03°01'06" WAA 27°01'05" A	FIS 25°13'07" STE 25°13'06" AW	FIS 26°37'33" STE 26°37'33" A	ZWI 05°35'18" WAA 05°35'19" H W +2
	02:32	02:26	04:39	05:16	05:57	08:35	03:32	05:20	00:58	06:40
	MER 72 KN2	MER 72 QUA	MAR 120 GSZ	CER 60 ERI	MER 144 EL6	VEN 120 GSZ	MER 30 ERI	JUN 135 SED	SON 45 VEN	VEN 30 URA
	FIS 15°25'10" STE 03°25'10" A	FIS 16°43'38" STE 04°43'39" A	WAS 02°20'37" WAA 02°20'36" T -4	WAS 23°46'19" WID 23°46'20" A*	FIS 21°03'18" WAA 27°03'16" A	ZWI 02°20'37" WAA 02°20'36" T W -2	FIS 23°48'15" WID 23°48'14" H +1	WAA 12°15'53" STI 27°15'53" A*	WID 19°38'33" ZWI 04°38'33" A K	ZWI 05°40'24" STI 05°40'24" A
	02:59	06:13		06:17	07:23	08:46	05:23	17:24	02:37	08:26
	PAL 0 PLU	VEN 135 JUN		PAL 135 ORC	VEN 72 NEP	MAR 144 ORC	VEN 30 KN1	MAR 60 CHI	URA 150 MAK	SON 72 KN1
	STE 24°50'38" STE 24°50'38" A*	STI 28°40'30" WAA 13°40'30" A		STE 25°34'50" JUN 10°34'50" A*	ZWI 01°25'16" FIS 19°25'16" A K?	WAS 04°32'52" JUN 10°32'52" H +8	ZWI 03°05'44" KRE 03°05'44" T K -2	WAS 06°11'16" WID 06°11'17" T -4	STI 05°36'29" WAA 05°36'29" H? +9	WID 20°55'47" KRE 02°55'48" A W
	06:25	06:23		10:29	13:27	13:57	13:59	19:32	03:17	14:29
	CHI 180 MAK	MER 135 VAR		PAL 72 APO	VES 120 MAK	VES 60 CHI	MER 72 VES	JUP 30 CER	VEN 150 QUA	PAL 90 EL6
	WID 05°45'16" WAA 05°45'16" H?(4/2) 0+8	FIS 16°56'47" LÖW 01°56'47" Hf +7		STE 25°37'14" WID 07°37'14" A*	WAS 05°40'26" WAA 05°40'26" H? -5	ZWI 06°03'51" WID 06°03'51" H? -5	FIS 24°26'54" ZWI 06°26'54" H? -5	STE 25°17'39" WAS 25°17'39" A*	STE 04°43'24" STE 04°43'24" A*	STE 26°57'02" WAA 26°57'02" A*
	07:36	07:36		11:38	21:18	14:58	15:55	22:36	06:13	15:57
	MER 45 SAT	VEN 144 QUA		MAR 150 KN1	VEN 60 VAR	MAR 30 QUA	PLU 30 CER	SON 30 NEP	MER 150 EL6	JUP 135 ORC
	FIS 15°41'39" WAS 00°41'39" A	STI 28°43'40" STE 04°43'40" A		WAS 03°14'27" KRE 03°14'26" A	ZWI 01°55'55" LÖW 01°55'55" H ---	WAS 04°43'38" STE 04°43'38" A*	STE 24°54'42" WAS 24°54'42" A*	WID 19°32'45" FIS 19°32'45" T K -3	WAA 26°58'36" WAS 26°58'36" A*	STE 25°29'03" JUN 10°29'03" A
	11:22	14:53		17:11	21:34	20:03	18:50		06:57	23:14
	SON 45 SED	MAR 180 VAR		VEN 120 SAT	SON 144 ORC	HAU 60 GaZ	MAR 90 URA		MER 90 GaZ	PAL 30 GaZ
	WID 12°11'43" STI 27°11'43" H +5	WAS 01°56'41" LÖW 01°56'41" A		WID 00°53'45" WAS 00°53'45" T -2	ZWI 16°33'17" JUN 10°33'18" A	WAA 27°01'26" SCH 27°01'26" ?	WAS 05°32'04" STI 05°32'04" A		FIS 27°01'25" SCH 27°01'27" T -1	STE 27°01'28" SCH 27°01'28" H? +11
	14:39	16:18		17:20			21:29		10:56	
	MER 72 VEN	URA 72 CER		SED 144 KN2			MER 60 PLU		MER 60 SED	
	FIS 16°04'43" STI 28°04'43" A W	STI 05°15'14" WAS 23°15'14" A*		STI 27°13'41" STE 03°13'41" H?(10/4) 11/0			FIS 24°54'51" STE 24°54'50" T (-1) Index 2		FIS 27°16'42" STI 27°16'41" A	
	20:59	20:02		18:04			22:08			
	MER 45 MAR	SON 180 JUN		SON 72 MAR			MAR 120 FY9			
	FIS 16°25'35" WAS 01°25'35" H +1	WID 13°32'15" WAA 13°32'16" A		WID 15°25'38" WAS 03°25'37" H W +3			WAS 05°37'48" WAA 05°37'48" A			
				18:08			23:06			
				VES 30 URA			MER 30 CER			
				ZWI 05°22'02" H? ---			FIS 25°00'53" WAS 25°00'53" Hf 0/7			
				18:17						
				MER 45 URA						
				FIS 20°22'04" STI 05°22'03" T -1						

April 2020



Prognose für SW-Deutschland

Die Dreier-Konjunktion Jupiter-Pluto-Pallas, die am 28. März 2020 begann, bleibt bis zum 6. April 2020 bestehen. Am 6. Haumea 60° GaZ ?\*. Am 8. Haumea 150 Sedna ?\* im Index 2. Konjunktion Venus 0° Vesta vom 13. bis 17. April.

Die rot markierten Aspekte im Index 3 sind Aspekte, bei denen der ursprüngliche Konjunktionsplanet den höheren Rang hat als der Partnerplanet. Das bedeutet, dass der Konjunktionsplanet bei diesen Aspekten immer als Planet 2 auftritt. Diese Aspekte werden ab Januar 2020 nicht mehr angerechnet.

Langsamläufer-Impulse			H*		T*			T*		
Schnellläufer-Impulse	T, H	T	H	3H	T	2H, 2T	H, Hf	T	H	T
Temperaturimpulse				K?, W, W?	K		K?	2W		
Premeteo-Index - zyklonal, + antizyklonal (Index 1+2+3)	11	-5	15	-8	-7	-6	17	6	-18	7
Pre.IX (ALTERNATIV)					0				3	
Index 1 (12 - 12 UTC) exakte Aspekte des Tages	11	-5	6	4	-8	1	9	-1	-4	0
Index 1 (ALTERNATIV)										
Symmetrien (0 - 0 UTC)	Var 6op Mar Jup (17) A H? (11/3) ---	Var 7op Mar Plu (15) A ?* ---	Mer 2op Mak GSZ (15) H A +7 Qua 89 Mak Mer (15) ?* A H?	Mak Top Chi Mer (00) H? (4/2) H --- Mer 119 Jun Ves (04) T A A? -7 Orc 135 Son Jup (12) T A? A K -7 GaZ 60 Hau Cer (16) ?* A? H? ? Chi 4op Jun GSZ (23) A? T? (1/5) ---	Plu 134 Ven Orc (03) A? T? ? Mer 4op Jun GSZ (04) Hf A --- Orc 135 Son Plu (09) T ?* A -7 Plu 135 Ven Orc (11) A? T? A? ? Jun 120 Ven Mar (19) T T A W -14	Jun 121 Mar Ves (01) T A? A -7 Mer 2op Jun Mak (01) Hf H +14	Pal 3 Sat Plu (11) A? A? 0 Auslösung Index 3! Ven 135 Jup Hau (19) H A H? +7	Jup 136 Ven Orc (13) H A? T (+7) Mer 44 Sed Cer (21) T A T? -14 Jun 3op Chi Mer (22) A? Hf --- Ves 136 Jup Hau (22) A? T? -7 Mer 23 Ura Nsp (22) H? (4/0) K? 0/+14	Hau 3op Son Eri (06) H ? -7 Mar 15 Pal Cer (10) T? --- Son 6 Ura Eri (17) H K H +7	Mer 8 Chi Eri (06) A H --- Ves 135 Jup Hau (14) A? T? H? -7 Eri 7 Son Mer (22) H H ---
Index 2 (12 - 12 UTC)	0	0	7	-14	-7	-7	0	7	-14	7
Index 2 (ALTERNATIV)					0				7	
ausgelöste Aspekte (= durch Konjunktionen aktivierte Aspekte)	Chi 72 Plu H? (4/2) Orc 135 Plu ?*	Chi 72 Plu H? (4/2) Orc 135 Plu ?*	Ven 45 Eri H2 Chi 72 Plu H? (4/2) Orc 135 Plu ?*	Ven 45 Eri H2 Chi 72 Plu H? (4/2) Orc 135 Plu ?*	Chi 30 Ura H8 Chi 72 Plu H? (4/2) Orc 135 Plu ?*		Mer 180 Jun H1 Auslösung Index 2: Sat 120 GSZ H? +7			
Index 3 (Summe)	0	0	2	2	8	0	8	0	0	0
Index 3 (ALTERNATIV)										
Symbol-Prognose	2	3	3	3	3	3	2	3	3	3
Wochentag	Sa	So	Mo	Di	Mi	Do	Fr	Sa	So	Mo
Datum	11	12	13	14	15	16	17	18	19	20
reale Wetterlage	T1: T / -5		H2: H', Hf, 7H - T', 3T / +11			T2: 2T', 2T - 2H / -9				
Luftdruck (hpa) 06 UTC	1024,1	1019,1	1014,9	1024,8	1025,2	1020,3	1017,1	1015,5	1016,1	1012,6
mittl. Temp. (°C)	14,9	16,2	12,4	5,7	9,6	14,8	17,2	17,3	15,8	15,3
Sonnenscheindauer (h)	11,4	8,5	9,1	12,7	12,6	12,1	10,5	9,6	11,2	12,7
Niederschlag (Liter)	0	0 / ...	0 / ...	0	0	0	0	0	0	0
Bodenwetterlage 00 UTC (Kernlage des Druckgebets, das SW-D beeinflusst)	H ü N-D u S-Skand	T ü Nm, kl T ü W-F	T ü N-Skand, H ü S-Mm	H ü GB, T ü Finnli	H m Kernen ü Nsee u SO-D	H ü NW-Balk	fl H-Brücke zw H ü N-Nsee u S-Italien	T ü O-Atl, H ü M-Ital	T ü SO-D	T ü W-F, T ü CH
Bodenströmung 12 UTC zyklonal (z), antizyklonal (a)	fl a	fl z	fl a	a	a	a	fl a	fl a	a-z	a-z
Strömung auf 500 hpa 00 UTC	O a	SW a	SW a	NW z	NO a-z	S a	SW a	SW a	W a	W fl a
zutreffende Wettersymbole	2 r	3 r	3 hr	2 hr	2 hr	2 hr	2 r	2-3 r	2 hr	2 hr

00:00	01:07	00:54	01:19	04:20	01:14	03:00	05:37	03:57	18:27
MAR 120 VES WAS 07°46'09" ZWI 07°46'09" A	CER 144 GSZ WAS 26°20'36" WAA 02°20'36" A*	SON 45 VES WID 23°33'49" ZWI 08°33'50" A?	VEN 60 APO WID 08°41'32" WID 08°41'31" A K?	CER 90 SED WAS 27°20'32" STI 27°20'32" T*-5	MER 72 JUP WID 07°59'12" STE 25°59'11" H+1	MAR 45 GaZ WAS 12°01'31" SCH 27°01'31" A	MER 60 VEN WID 11°47'02" ZWI 11°47'02" A	MER 60 MAR WAS 13°26'29" WAS 13°26'29" T-1	MER 144 ORC WID 16°21'15" JUN 10°21'15" T-1
01:41	03:03	02:10	02:33	04:51	07:51	06:14	06:10	05:38	
VEN 60 CHI ZWI 06°19'22" WID 06°19'22" A	CER 135 JUN WAS 26°22'09" WAA 11°22'09" A*	VEN 60 APO ZWI 08°35'04" WID 08°35'04" A*	MER 90 QUA WID 04°42'33" STE 04°42'33" T-4	MAR 120 JUN WAS 10°41'22" WAA 10°41'21" T-4	VEN 90 ORC ZWI 10°24'29" JUN 10°24'29" T-2	VEN 135 JUP ZWI 11°05'19" STE 26°05'18" H K? +2	VEN 135 EL6 WAA 26°48'01" A W	MER 72 SAT WID 13°34'03" WAS 10°34'05" H+1	
23:57	09:38	08:27	04:17	05:03	08:51	07:10	13:43	06:15	
MAR 60 APO WAS 08°27'46" WID 08°27'46" T-4	MER 120 VAR WID 01°55'08" LÖW 01°55'10" T-1	SON 0 ERI WID 23°52'19" WAS 27°01'29" SCH 27°01'29" A*	CER 60 GaZ WAS 27°01'29" WID 06°33'28" A	MER 0 CHI WID 06°33'27" WAS 10°26'19" WAA 10°26'19" T-4	VEN 120 JUN ZWI 10°26'19" WAA 10°26'19" T-4	VES 120 JUN WID 10°14'31" WAA 10°14'31" A*	MER 45 SED WID 12°22'57" STI 27°22'55" T-1	MER 45 CER WID 13°36'49" WAS 28°36'49" A	
23:59	09:53	18:02	07:14	10:51	09:08	08:14	18:00	23:05	
MER 60 SAT WID 01°16'19" WAS 01°16'20" H ---	PAL 120 SED STE 27°18'38" STI 27°18'38" A*	CER 120 HAU WAS 26°53'20" WAA 26°53'20" H* ---	VEN 45 ERI ZWI 08°52'37" WID 23°52'37" A*	MER 72 PLU WID 06°57'58" STE 24°57'58" A	SON 180 HAU WID 26°50'14" WAA 26°50'14" H+6	MER 72 PAL WID 10°13'07" STE 28°13'06" A	CER 30 PAL WAS 28°27'23" STE 28°27'23" T*-5	JUP 135 VES STE 26°18'04" ZWI 11°18'05" A*	
	12:08	20:05	11:08	11:00	12:34	08:24			
	MAR 144 KN1 WAS 08°48'56" KRE 02°48'57" A	VES 45 ERI ZWI 08°52'37" WID 23°52'37" A*	SON 90 PLU WID 24°57'40" STE 24°57'39" A	SON 90 JUP WID 25°56'05" STE 25°56'06" A K	JUN 30 ORC WAA 10°24'20" JUN 10°24'20" A*	MER 180 JUN WID 10°13'50" WAA 10°13'52" Hf +7			
	15:56	14:05	17:37	13:45	08:58				
	MER 180 GSZ WID 02°20'37" WAA 02°20'36" A	MER 180 MAK WID 05°30'35" WAA 05°30'33" H+2	VEN 135 PLU ZWI 09°58'04" STE 24°58'04" A	SON 120 GaZ WID 27°01'32" SCH 27°01'30" A	MER 60 VES WID 10°16'19" WID 10°16'18" A				
	22:34	18:40	14:47	10:39					
	MER 90 KN1 WID 02°47'33" KRE 02°47'34" A	VEN 0 VES ZWI 09°14'48" ZWI 09°14'48" H W +4	PLU 135 VES STE 24°58'19" ZWI 09°58'18" A*	MER 150 ORC WID 10°23'40" JUN 10°23'38" A					
		19:48	15:05	16:12					
		MAR 150 ORC WAS 10°25'39" JUN 10°25'39" A	MER 0 APO WID 08°58'42" WID 08°58'43" A	VES 90 ORC ZWI 10°23'28" JUN 10°23'28" A*					
		20:07	22:01	16:56					
	MER 30 URA WID 05°55'51" STI 05°55'51" A W?	SON 30 SED WID 27°21'45" STI 27°21'45" A	SON 60 CER WID 28°07'59" WAS 28°07'59" A						
		22:32	23:04	21:19					
	SON 135 ORC WID 25°25'34" JUN 10°25'33" T-3	MAR 72 ERI WAS 11°54'41" WID 23°54'41" A	SON 90 PAL WID 28°18'42" STE 28°18'42" A						

April 2020



Prognose für SW-Deutschland

Die Dreier-Konjunktion Jupiter-Pluto-Pallas, die am 28. März 2020 begann, bleibt bis zum 6. April 2020 bestehen. Am 6. Haumea 60° GaZ ??. Am 8. Haumea 150 Sedna ?\* im Index 2. Konjunktion Venus 0° Vesta vom 13. bis 17. April.

Die rot markierten Aspekte im Index 3 sind Aspekte, bei denen der ursprüngliche Konjunktionsplanet den höheren Rang hat als der Partnerplanet. Das bedeutet, dass der Konjunktionsplanet bei diesen Aspekten immer als Planet 2 auftritt. Diese Aspekte werden ab Januar 2020 nicht mehr angerechnet.

Langsamiäuler-Impulse	T*		H?*		H*			H*, H?*		T*, H*, H*
Schnellläufer-Impulse		H		H	H	3H, T	T	Hf, 3H	H, T	H, Hf, 3T
Temperaturimpulse	W?, W	K					K		K	
Premeteo-Index -zyklonal, + antizyklonal (Index 1+2+3)	-8	3	13	0	11	16	7	23	21	23
Pre.IX (ALTERNATIV)	-13		8						32	
Index 1 (12 - 12 UTC) exakte Aspekte des Tages	-1	3	0	0	11	9	0	20	14	23
Index 1 (ALTERNATIV)	-6		8						25	
Symmetrien (0 - 0 UTC)	Hau 10op Ura Mer (05) H? (5/1,5) H ... Son 90 Sat Var (11) A W? A H? (7/2) ... Mer 90p Jun Hau (16) H H ...	Pal 3 Jup Sat (20) T* A* 0/-7 Auslös. Index 3! Hau 60p Son Mer (21) H H +7	Mer 15 Ura Chi (15) H* (8/3) ...	Chi 20p Jun Mak (15) A* H? (4/2) ...	Orc 135 Plu Mer (15) ?* A A ? Orc 170 Nep Cer (16) ?* A* ...	Jup 90 Hau Mer (05) H* A H +7	Hau 30p Eri Mer (11) ?* H +7 Cer 36 Plu Chi (15) ? ...	Mer 6 Ura Eri (00) A H ... Mak 3 Jun GSZ (00) A* H? (3,5/1) ... Auslösung Index 3! Mer 7 Son Eri (12) H H ... Mer 90 Sat Var (18) H A H? (7/2) +7	Ura 3 Son Mer (16) H K A +7	Mer 44 Ven Nep (00) T K T T K ... wegen Index 1!
Index 2 (12 - 12 UTC)	-7	0	7	0	0	7	7	0	7	0
Index 2 ALTERNATIV			0							
ausgelöste Aspekte (= durch Konjunktionen aktivierte Aspekte)			Jup 0 Plu H* +6/0		Plu 90 Eri A? (4/5)	Chi 30 Ura H8	Chi 30 Ura H8	Auslösung von Index 2: Son 150 Jun H +3		
Index 3 (Summe)	0	0	6	0	0	0	0	3	0	0
Index 3 ALTERNATIV	0	0	0	0	0	0	0	0	0	0
Symbol-Prognose	3	3	2	3	2	2	3	2	2	2
Wochentag	Di	Mi	Do	Fr	Sa	So	Mo	Di	Mi	Do
Datum	21	22	23	24	25	26	27	28	29	30
reale Wetterlage	H3: H*, 3H*, 2Hf, 10H - T*, 6T - 2? / +114									
Luftdruck (hpa) 06 UTC	1010,8	1014,9	1019,6	1015,5	1012,1	1010,8	1010,9	1006,3	1010	1007
mittl. Temp. (°C)	15,8	15,4	14	16,2	15	13,4	17,4	16,2	13,9	13,1
Sonnenscheindauer (h)	8,8	13,1	13,2	12,1	11,8	7,9	11,1	1,8	2	0,8
Niederschlag (Liter)	0	0	0	0	0	0,1	0	2,2 / 7,5	1,6 / 2	1,9 / 9
Bodenwetterlage 00 UTC (Kernlage des Druckgebiets, das SW-D beeinflusst)	T ü Sardi, H ü Nm	T ü Sarda u W-F	T ü F	H ü Alp	H ü Nsee, H ü Sardi	H ü Nsee, H ü Sardi	H ü D	H ü O-Balk, ökl T ü SW-Norw	H-Keil von Iber, T ü NO-D	H ü O-Alp, T ü Irland
Bodenströmung 12 UTC zyklonal (z), antizyklonal (a)	fl a	a-z	a	fl a	a-z	z	fl a	fl a	a	fl a
Strömung auf 500 hpa 00 UTC	SO fl z	O fl a	NO a	NO a	NW fl a	NW a-z	W a-z	SW a	SW fl z	SW fl a
zutreffende Wettersymbole	2-3 f	2 hr	2 r	2 hr	2 r	3 hr	2 hr	5 f	5 f	5 f

01:42 VES 135 HAU WZI 11'44'41" WAA 26°44'42" T* 0/-5	00:23 SON 150 GSZ STI 02°20'35" WAA 02°20'35" H +3	01:15 <b>CHI 72 PLU</b> WID 06°59'26" STE 24°59'26" H? (4/2) 0 / +8	09:10 SON 120 QUA STI 04°38'60" STE 04°38'59" A	01:56 SON 150 FY9 STI 05°19'50" WAA 05°19'51" H +3	03:44 <b>MER 180 HAU</b> WID 26°38'42" WAA 26°38'44" H +2	00:03 SON 30 CHI STI 07°12'04" WID 07°12'04" A	01:09 SON 150 JUN STI 08°13'07" WAA 08°13'07" Hf +9	00:34 MAR 135 MAK WAS 20°16'08" WAA 05°16'08" H +8	01:41 MER 120 QUA STI 04°36'03" STE 04°36'03" A
01:53 JUN 180 APO WAA 09°28'28" WID 09°28'28" A*	17:13 MER 30 NEP WID 19°59'09" FIS 19°59'08" A*	13:18 MAR 135 KNI WAS 17°10'40" KRE 02°10'40" A	07:37 MER 90 PLU WID 24°59'32" STE 24°59'32" A	03:56 VEN 135 SAT ZWI 16°46'29" WAS 01°46'29" A	12:05 MER 45 VES WID 29°20'29" ZWI 14°20'30" T--- Index 2!	02:00 MAR 45 QUA WAS 19°37'09" STE 04°37'09" T--- Index 2!	12:34 MER 45 VEN WAS 18°28'04" ZWI 18°28'04" T K-1	03:35 SON 120 ORC STI 10°15'38" ZWI 10°15'38" H +3	
07:01 SON 90 SAT STI 01°38'13" WAS 01°38'14" A W?	20:47 MER 72 KNI WID 20°16'02" KRE 02°16'02" A	18:56 SON 45 NEP STI 05°02'47" FIS 20°02'47" A	07:47 <b>JUP 90 HAU</b> STE 26°39'42" WAA 26°39'42" H* +6	04:33 MER 90 JUP WID 26°42'45" STE 26°42'43" A	16:48 MER 90 PAL WID 29°44'18" STE 29°44'16" A	04:13 SON 144 GSZ STI 08°20'34" WAA 02°20'35" A	06:14 SAT 30 CER STI 08°20'34" FIS 01°51'39" A	06:42 JUN 144 CER WAA 07°51'59" FIS 01°51'58" T*-5	
07:15 VEN 135 PAL ZWI 13°51'49" STE 28°51'49" A	10:22 GSZ 90 KNI WAA 02°20'35" KRE 02°20'35" A*	19:23 MER 0 ERI WID 23°59'47" WID 23°59'48" H +2	09:01 SON 0 URA STI 06°35'30" STI 06°35'31" H K +6	11:35 VEN 45 VAR ZWI 16°56'50" LÖW 01°56'50" H +2	16:40 <b>ORC 150 APO</b> JUN 10°16'37" FIS 10°16'37" H* +11	11:57 MER 60 CER STI 01°21'37" FIS 01°21'35" A	06:42 JUN 144 CER WAA 07°51'59" FIS 01°51'58" T*-5	07:18 CER 120 KNI FIS 01°52'24" KRE 01°52'24" H* +11	
14:12 SON 90 VAR STI 01°55'45" LÖW 01°55'44" A	18:59 CER 144 FY9 WAS 29°23'05" WAA 05°23'05" A*	13:48 MER 0 URA STI 06°35'30" STI 06°35'31" H K +6	11:35 VEN 45 VAR ZWI 16°56'50" LÖW 01°56'50" H +2	17:29 MER 90 SAT STI 01°49'54" WAS 01°49'54" H +1	18:40 <b>VAR 30 KNI</b> LÖW 01°57'31" KRE 01°57'31" H? (10/4,5) 0/+11	18:40 MER 90 SAT STI 01°49'54" WAS 01°49'54" H +1	08:37 MER 45 NEP STI 05°12'09" FIS 20°12'07" T ...	09:09 MER 150 MAK STI 05°14'56" WAA 05°14'54" H +7	
23:40 SON 60 KNI STI 02°18'50" KRE 02°18'50" A W					18:59 MER 60 KNI STI 01°57'15" KRE 01°57'13" H +2	18:59 PAL 135 VES STE 29°51'53" ZWI 14°51'53" A*	18:59 MER 90 VAR STI 01°57'30" LÖW 01°57'33" A	16:33 MER 150 MAK STI 05°14'56" WAA 05°14'54" H +7	09:51 SON 30 APO STI 10°30'51" WID 10°30'50" T ...
					21:36 MER 72 MAR STI 02°11'00" WAS 20°11'01" A	23:28 MER 150 GSZ STI 02°20'35" WAA 02°20'35" A	11:19 <b>SAT 150 KNI</b> WAS 01°51'52" KRE 01°51'52" H* +7	15:33 CER 150 VAR FIS 01°58'12" LÖW 01°58'12" A*	11:19 VEN 144 PLU ZWI 18°59'11" STE 24°59'11" T-2



## April 2020: Fehlprognosen

Datum	Vorzeichen Symbol	Analyse
14.	-8 2 hr	Hoch Nikolas über Großbritannien. In der Bodenatmosphäre kam es an der Rückseite von Tief Tanja und der Vorderseite von Hoch Nikolas zum Einfließen sehr kalter, maritimer Arktikluft, die wieder bis in die Niederungen Nachtfröste brachte und die Atmosphäre über Südwestdeutschland absinken ließ. Der kräftig steigende Luftdruck verhielt sich dadurch spiegelbildlich zum Premeteo-Index und verursachte vom 14. bis 16. April die ersten Fehlprognosetage dieses Monats. Dabei kamen die negativen Werte des Premeteo-Index nur aufgrund von Symmetrien zustande. <b>Auf 500 hPa zyklonal, flacher Index.</b>
15.	-7 2 hr	Hoch mit Kernen über Nordsee und Südostdeutschland. <b>Flacher Index.</b> Analyse siehe 14.
16.	-6 2 hr	Hoch über Nordwestbalkan. <b>Flacher Index.</b> Analyse siehe 14.
18.	+6 2-3 r	Tief über Ostatlantik. <b>Flacher Index.</b> Am Folgetag erreichte der Premeteo-Index einen Wert von -18!
20.	+7 2 hr	Tief mit Kernen über Westfrankreich und Südostschweiz. <b>Flacher Index, einzelner positiver Tag.</b>
22.	+3 2 hr	Tief Vera mit Kernen über Westfrankreich, den Balearen und Sardinien. <b>Flacher Index.</b>

## Monatsauswertung (Lahr)

Apr 20

### H-Wetterlagen

	Anzahl der Wetterlagen	Anzahl der Tage	Niederschlag in Liter	H*	Hf	H	T*	Tf	T	L
normal	3	24	5,7 / 18,5	12	6	25	3	0	19	4
anormal	0	0	0	0	0	0	0	0	0	0
gesamt	3	24	5,7 / 18,5	12	6	25	3	0	19	4

Verhältnis H/Tage =  $43/24 = 1,79$   
Verhältnis T/Tage =  $22/24 = 0,92$

### T-Wetterlagen

	Anzahl der Wetterlagen	Anzahl der Tage	Niederschlag in Liter	H*	Hf	H	T*	Tf	T	L
normal	2	6	0 / 0	0	0	2	2	0	3	0
anormal	0	0	0	0	0	0	0	0	0	0
gesamt	2	6	0 / 0	0	0	2	2	0	3	0

Verhältnis H/Tage =  $2/6 = 0,33$   
Verhältnis T/Tage =  $5/6 = 0,83$

ganzer Monat	Anzahl der Wetterlagen	Anzahl der Tage	Niederschlag in Liter	H*	Hf	H	T*	Tf	T	L
	5	30	5,7 / 18,5	12	6	27	5	0	22	4

Gesamtzahl H-Aspekte: 45  
Gesamtzahl T-Aspekte: 27  
Zahl aller Aspekte: 185  
Quotient H/T = 1,67  
Gesamtzahl L-Aspekte: 4

Niederschlag Durbach: s.o. hinter Schrägstrich

r = richtig hr = halbrichtig f = falsch

Symbolprognose in Tagen	12 r 14 hr 4 f
-------------------------	----------------

Premeteo-Index pro Tag	HWL +249/24 = +10,38	TWL -14/6 = -2,33
------------------------	----------------------	-------------------

bezüglich des Vorzeichens richtige Tage	24	bezüglich des Vorzeichens falsche Tage	6
---	----	--	---

Bei der Auswertung des Januar 2017 wurde entdeckt, dass im Index 3 möglicherweise nur dann Auslösungsaspekte aktiviert werden, wenn der Konjunktionsplanet einen Aspekt mit einem Planeten bildet, der einen höheren Rang hat als der betroffene Konjunktionsplanet selbst. Dies bestätigte sich im Laufe des ganzen Jahres 2017. Manchmal entstand der Eindruck, dass die im korrigierten Index 3 nicht mehr angerechneten Aspekte auf 500 hpa zum Teil doch anwesend waren. Ab Januar 2018 werden nur noch die im Index 3 korrigierten Prognosen ausgewertet.